

## 两个由铜离子与 Waugh-型阴离子构筑的化合物的合成、晶体结构及表征

刘雪梅\* 南叶飞 吴亚薛丹

(西安石油大学化学化工学院, 西安 710065)

**摘要:** 以 $(\text{NH}_4)_6[\text{MnMo}_9\text{O}_{32}] \cdot 8\text{H}_2\text{O}$ 为前体原料, 与 $\text{CuCl}_2$ 及吡啶反应得到了2个Waugh型钼酸盐 $[\text{Cu}(\text{H}_2\text{O})_4]_3\text{MnMo}_9\text{O}_{32} \cdot 6\text{H}_2\text{O}$ (1)和 $[\text{Cu}(\text{H}_2\text{O})_4][\text{Cu}(\text{C}_5\text{H}_5\text{N})(\text{H}_2\text{O})_2]_2(\text{C}_5\text{H}_5\text{N})\text{MnMo}_9\text{O}_{32} \cdot 4\text{H}_2\text{O}$ (2), 并用元素分析、X-射线单晶衍射、红外光谱、固体紫外可见光谱、近红外光谱和热重分析对其进行表征, 并研究了化合物1的磁性质。晶体结构表明, 化合物1属于三方晶系, 空间群为R32; 化合物2属于单斜晶系, 空间群为C2/c。化合物1中 $\text{Cu}^{2+}$ 与 $[\text{MnMo}_9\text{O}_{32}]^{6-}$ 连接形成了三维二重穿插的 $\alpha$ -Po拓扑结构。化合物2中单核铜“ $\text{Cu}(\text{H}_2\text{O})_4$ ”和双核铜建筑块“ $[\text{Cu}_2(\text{C}_5\text{H}_5\text{N})_2(\text{H}_2\text{O})_4]$ ”作为桥连接阴离子 $[\text{MnMo}_9\text{O}_{32}]^{6-}$ 形成了三维网络结构。其中化合物2是首例有机配体参与过渡金属离子配位的Waugh型化合物。

**关键词:** Waugh结构; 合成; 晶体结构; 近红外光谱; 磁性

**中图分类号:** O614.121    **文献标识码:** A    **文章编号:** 1001-4861(2014)09-2006-07

**DOI:** 10.11862/CJIC.2014.278

## Synthesis, Crystal Structure and Properties of Two Compounds Connected by Waugh-Type Polyoxoanion and Copper Ion

LIU Xue-Mei\* NAN Ye-Fei WU Ya XUE Dan

(College of Chemistry and Chemical Engineering, Xi'an Shiyou University, Xi'an 710065, China)

**Abstract:** Two Waugh molybdates based on  $[\text{MnMo}_9\text{O}_{32}]^{6-}$ :  $[\text{Cu}(\text{H}_2\text{O})_4]_3\text{MnMo}_9\text{O}_{32} \cdot 6\text{H}_2\text{O}$  (1) and  $[\text{Cu}(\text{H}_2\text{O})_4][\text{Cu}(\text{C}_5\text{H}_5\text{N})(\text{H}_2\text{O})_2]_2(\text{C}_5\text{H}_5\text{N})\text{MnMo}_9\text{O}_{32} \cdot 4\text{H}_2\text{O}$  (2) have been isolated by reacting of  $(\text{NH}_4)_6[\text{MnMo}_9\text{O}_{32}] \cdot 8\text{H}_2\text{O}$ ,  $\text{CuCl}_2$  and pyridine in aqueous solution, and characterized by elemental analysis, single-crystal X-ray diffraction, IR, NIR and TG. The magnetic properties of compound 1 have also been studied. Crystal structural analyses indicate that the compound 1 crystallizes in the triclinic crystal system and space group R32, and compound 2 crystallizes in the monoclinic crystal system and space group C2/c. In compound 1, the polyoxoanions  $[\text{MnMo}_9\text{O}_{32}]^{6-}$  are linked by  $\text{Cu}^{2+}$  ions to form a 3D framework with  $\alpha$ -Po topology. In compound 2, the polyoxoanions  $[\text{MnMo}_9\text{O}_{32}]^{6-}$  are linked by the “ $\text{Cu}(\text{H}_2\text{O})_4$ ” and “[ $\text{Cu}_2(\text{C}_5\text{H}_5\text{N})_2(\text{H}_2\text{O})_4$ ]” groups to form a 3D network. It is noteworthy that compound 2 is the first example of Waugh-type compound, in which organic ligands coordinate to transition metal ions.

CCDC: 999721, 1; 999720, 2.

**Key words:** Waugh structure; synthesis; crystal structure; NIR; magnetic property

Waugh型结构的化合物是杂多酸盐中非常重要的几类化合物, 也是杂多酸盐的五大基本结构之一。 $[\text{MnMo}_9\text{O}_{32}]^{6-}$ 是一种典型的手性杂多阴离子, 结

构呈 $D_3$ 对称性, 具有左手和右手两种构型<sup>[1-2]</sup>。这类化合物对有机酯化反应<sup>[3-4]</sup>、环己醇脱水得到环己烯的反应<sup>[5]</sup>、催化氧化苯酚制备二元酚的反应<sup>[6]</sup>及对有

收稿日期: 2013-07-15。收修改稿日期: 2014-04-13。

陕西省教育厅专项基金(No.2010JK782, 12JK1012)和西安石油大学博士科研启动基金(No.2014BS30)资助项目。

\*通讯联系人。E-mail: lxm2503@163.com; 会员登记号: 01M120424338。

机染料的降解都具有良好的催化活性<sup>[2]</sup>,这些性质吸引了广大化学学者的关注,然而对这类化合物的研究还比较少,迄今为止仅有20余例化合物报道。目前,以Na<sup>+</sup>、K<sup>+</sup>与[MnMo<sub>9</sub>O<sub>32</sub>]<sup>6-</sup>连接形成的Waugh型化合物的合成和催化性质研究较多,如K<sub>3</sub>Na<sub>3</sub>[MnMo<sub>9</sub>O<sub>32</sub>]<sup>[7]</sup>、(NH<sub>4</sub>)<sub>4</sub>Na<sub>2</sub>[L-MnMo<sub>9</sub>O<sub>32</sub>]·4H<sub>2</sub>O<sup>[8]</sup>、Na<sub>2</sub>(C<sub>3</sub>H<sub>5</sub>N<sub>2</sub>)<sub>4</sub>[MnMo<sub>9</sub>O<sub>32</sub>]·2H<sub>2</sub>O<sup>[9]</sup>和[N(CH<sub>3</sub>)<sub>4</sub>]<sub>3</sub>Na<sub>3</sub>[L-MnMo<sub>9</sub>O<sub>32</sub>]·H<sub>2</sub>O<sup>[8]</sup>等。2006年,福建师范大学课题组以H<sub>12</sub>[MnMo<sub>9</sub>O<sub>32</sub>(KO)<sub>6</sub>]<sup>[3]</sup>为催化剂,对环己醇脱水得到环己烯的反应进行了催化性能研究,结果表明环己醇的转化率可达69.6%,环己烯选择性达96.0%,该课题组还研究了K<sub>0.5</sub>(NH<sub>4</sub>)<sub>5.5</sub>[MnMo<sub>9</sub>O<sub>32</sub>]·6H<sub>2</sub>O催化氧化苯酚制备二元酚的催化活性<sup>[6]</sup>,研究表明苯酚的转化率可以达到45.04%,对苯二酚的选择性达到85.79%。

近年来,东北师大的王恩波课题组对过渡金属离子与[MnMo<sub>9</sub>O<sub>32</sub>]<sup>6-</sup>构筑的Waugh型化合物的研究取得了较大的进展。2007年,王恩波课题组以手性的Waugh型阴离子[MnMo<sub>9</sub>O<sub>32</sub>]<sup>6-</sup>为建筑块,合成了两个通过Zn离子的桥连作用形成手性的(D)L-(Zn(H<sub>2</sub>O)<sub>3</sub>)<sub>3</sub>[MnMo<sub>9</sub>O<sub>32</sub>]<sup>[10]</sup>,并首次在溶液中拆分成功。该课题组还先后成功合成了Mn<sup>2+</sup>和Ni<sup>2+</sup>构筑的手性化合物(D)L-NH<sub>4</sub>Mn<sub>25</sub>[MnMo<sub>9</sub>O<sub>32</sub>]·11H<sub>2</sub>O<sup>[11]</sup>、(D)L-Mn<sub>3</sub>[MnMo<sub>9</sub>O<sub>32</sub>]·13H<sub>2</sub>O<sup>[9]</sup>和L-Ni<sub>3</sub>[MnMo<sub>9</sub>O<sub>32</sub>]·11.5H<sub>2</sub>O<sup>[12]</sup>。2011年报道了2个无机微孔化合物Co<sub>3</sub>[MnMo<sub>9</sub>O<sub>32</sub>]·15H<sub>2</sub>O和Cu<sub>3</sub>[MnMo<sub>9</sub>O<sub>32</sub>]·15H<sub>2</sub>O<sup>[3]</sup>,通过对罗丹明B的光催化降解研究表明这2个化合物均具有良好的光催化活性。然而迄今为止,有机配体与过渡金属配位的Waugh型化合物尚未见文献报道。

本文采用常规的水溶液合成法,以典型的手性杂多阴离子[MnMo<sub>9</sub>O<sub>32</sub>]<sup>6-</sup>为基本构筑单元,通过与CuCl<sub>2</sub>及吡啶反应得到化合物[Cu(H<sub>2</sub>O)<sub>4</sub>]<sub>3</sub>MnMo<sub>9</sub>O<sub>32</sub>·4H<sub>2</sub>O(1)和[Cu(H<sub>2</sub>O)<sub>4</sub>][Cu(C<sub>5</sub>H<sub>5</sub>N)(H<sub>2</sub>O)<sub>2</sub>]<sub>2</sub>(C<sub>5</sub>H<sub>5</sub>N)MnMo<sub>9</sub>O<sub>32</sub>·6H<sub>2</sub>O(2),对其进行了元素分析、红外光谱、固体紫外可见近红外光谱、热重和单晶结构表征,并对化合物1进行了磁性质研究。

## 1 实验部分

### 1.1 试 剂

主要试剂:钼酸铵(AR),天津市科密欧化学试剂有限公司;氯化铜(AR),天津市登峰化学试剂厂;吡啶(AR),国药集团化学试剂有限公司。实验中所用的(NH<sub>4</sub>)<sub>6</sub>[MnMo<sub>9</sub>O<sub>32</sub>]<sup>6-</sup>·8H<sub>2</sub>O根据文献<sup>[6]</sup>合成。所有试

剂,反应前未经过进一步提纯。

### 1.2 仪 器

Smart Apex II CCD X-射线面探衍射仪(德国Bruker公司);TENSOR 27红外光谱仪(德国Bruker公司);VarioEL III型元素分析仪(德国艾乐曼公司);IRIS Advantage全谱直读等离子体发射光谱仪(美国Thermo Scientific公司);U-3310紫外可见分光光度计(日本日立公司);Lambd 950紫外可见近红外光谱仪(美国Perkin-Elmer公司);Q50型热重分析仪(美国TA公司),升温速率10℃·min<sup>-1</sup>,温度范围为20~800℃;MPMS-XL-7型超导磁量子干涉仪(美国Quantum Design公司),测试的温度范围为1.8~300K。

### 1.3 合 成

#### 1.3.1 化合物[Cu(H<sub>2</sub>O)<sub>4</sub>]<sub>3</sub>MnMo<sub>9</sub>O<sub>32</sub>·6H<sub>2</sub>O(1)的合成

将0.34g(0.20mmol)的(NH<sub>4</sub>)<sub>6</sub>[MnMo<sub>9</sub>O<sub>32</sub>]<sup>6-</sup>·8H<sub>2</sub>O加热溶解在25mL水中,搅拌下滴加0.34g(2.0mmol)CuCl<sub>2</sub>·2H<sub>2</sub>O的水溶液,室温下反应1h,过滤,滤液放置3~4d析出黄棕色块状晶体,抽滤收集产品。产率为82%(按钼计算)。元素分析理论值(%):Cu,9.79;Mn,2.83;Mo,44.41;H:1.85;实测值(%):Cu,9.64;Mn,2.68;Mo,44.57;H:1.76。

#### 1.3.2 化合物[Cu(H<sub>2</sub>O)<sub>4</sub>][Cu(C<sub>5</sub>H<sub>5</sub>N)(H<sub>2</sub>O)<sub>2</sub>]<sub>2</sub>(C<sub>5</sub>H<sub>5</sub>N)MnMo<sub>9</sub>O<sub>32</sub>·4H<sub>2</sub>O(2)的合成

将0.34g(0.20mmol)的(NH<sub>4</sub>)<sub>6</sub>[MnMo<sub>9</sub>O<sub>32</sub>]<sup>6-</sup>·8H<sub>2</sub>O加热溶解在25mL水中,搅拌下依次滴加0.34g(2.0mmol)CuCl<sub>2</sub>·2H<sub>2</sub>O和0.079g(1.0mmol)吡啶的水溶液,然后用2.0mol·L<sup>-1</sup>稀盐酸调节pH到5.0~5.5,50~60℃加热反应30min,反应液冷却到室温,过滤,滤液放置数天析出黑棕色块状晶体,抽滤收集产品。产率为68%(按钼计算)。元素分析理论值(%):Cu,8.87;Mn,2.56;Mo,40.21;C,8.38;N,1.95;H,1.82;实测值(%):Cu,9.01;Mn,2.43;Mo,40.38;C,8.57;N,1.84;H,2.94。

### 1.4 晶体结构测定

296(2)K温度下,在德国Bruker公司Smart Apex II CCD X-射线面探衍射仪上,采用石墨单色化Mo K $\alpha$ (0.071073nm)辐射为光源对化合物1和2进行了单晶结构测定。化合物1,在2.13°≤θ≤28.53°范围内,共收集5448个衍射点,其中独立衍射点1442个( $R_{int}$ =0.0371),强点1423个( $I>2\sigma$ )用于结构解析。化合物2,在1.91°≤θ≤25.05°范围内,共收集11711个衍射点,其中独立衍射点4240个。

( $R_{\text{int}}=0.0234$ ), 强点 3 901 个( $I>2\sigma$ )用于结构解析。化合物的初结构由直接法解出, 其余非氢原子坐标是在以后数轮差值 Fourier 合成中陆续确定的, 对全部非氢原子坐标及各向异性参数用全矩阵最小二

乘法  $F^2$  修正, 所有氢原子由理论加氢得到。所有计算均用 SHELX-97 晶体结构分析软件包完成<sup>[13]</sup>, 化合物的结构图均由 Diamond 3.0 程序画出。主要晶体学数据列于表 1, 表 2 给出了化合物 1 和 2 的部

表 1 化合物 1 和 2 的晶体学数据表

Table 1 Crystal Data of Compounds 1 and 2

Compound	1	2
Empirical formula	$\text{H}_{36}\text{Cu}_3\text{MnMo}_9\text{O}_{50}$	$\text{C}_{15}\text{H}_{39}\text{N}_3\text{Cu}_3\text{MnMo}_9\text{O}_{44}$
Formula weight	1 945.3	2 148.53
Temperature / K	296(2)	296(2)
Crystal system	Trigonal	Monoelitic
Space group	$R\bar{3}2$	$C2/c$
$a$ / nm	1.482 9(10)	1.688 3(2)
$b$ / nm	1.482 9(10)	1.466 6(18)
$c$ / nm	1.428 4(15)	2.103 3(3)
$\beta$ / ( $^\circ$ )	90.00	113.07(10)
$V$ / nm <sup>3</sup>	2.720 1(4)	4.791 1(10)
$Z$	3	4
$D_c$ / (g·cm <sup>-3</sup> )	3.563	2.777
$F(000)$	2 778	3 820
$\theta$ range / ( $^\circ$ )	2.13~28.53	1.91~25.05
Reflections collected	5 448	11 711
Independent reflections ( $I>2\sigma(I)$ )	1 442 (1 423)	4 240 (3 901)
GOF on $F^2$	1.093	1.060
$R_1$ , $wR_2^a$ ( $I>2\sigma(I)$ )	$R_1=0.0306$ , $wR_2=0.0829$	$R_1=0.0299$ , $wR_2=0.0729$
$R_1$ , $wR_2^a$ (all data)	$R_1=0.0312$ , $wR_2=0.0834$	$R_1=0.0331$ , $wR_2=0.0744$

$$^a R_1 = \sum ||F_o| - |F_c|| / \sum |F_o|, wR_2 = [\sum w(F_o^2 - F_c^2)^2 / \sum w(F_o^2)^2]^{1/2}$$

表 2 化合物 1 和 2 的部分键长和键角

Table 2 Selected bond distances (nm) and bond angles ( $^\circ$ ) of compounds 1 and 2

Complex 1					
Cu(1)-O(2)	0.224 0(5)	Mo(2)-O(1E)	0.220 6(5)	Mo(1)-O(1)	0.223 8(4)
Cu(1)-O(7)	0.196 9(10)	Mo(2)-O(2)	0.172 1(5)	Mo(1)-O(3D)	0.171 3(5)
Cu(1)-O(8)	0.201 3(8)	Mo(2)-O(4)	0.187 7(4)	Mo(1)-O(4B)	0.196 8(5)
Mo(2)-O(6)	0.170 6(5)	Mo(2)-O(5)	0.207 7(3)	Mn(1)-O(1)	0.189 1(5)
O(2C)-Cu(1)-O(7C)	90.7(4)	O(2)-Cu(1)-O(2C)	174.4(3)	O(2)-Mo(2)-O(6)	106.1(3)
O(2C)-Cu(1)-O(8C)	88.5(4)	O(4)-Mo(2)-O(5)	148.6(2)	O(1)-Mo(2)-O(1C)	71.2(2)
O(7)-Cu(1)-O(7C)	90.2(4)	O(5)-Mo(2)-O(6)	90.2(2)	O(1E)-Mo(2)-O(6)	95.5(2)
O(7C)-Cu(1)-O(8)	173.6(5)	O(1E)-Mo(2)-O(5)	73.78(4)	O(1E)-Mo(2)-O(4)	76.3(19)
Complex 2					
Cu(1)-N(1)	0.204 5(5)	Cu(2)-O(18)	0.201 2(3)	N(1)-C(2)	0.132 6(8)
Cu(1)-O(12B)	0.248 4(2)	C(7)-C(8)	0.135 0(14)	Mo(1)-O(6)	0.171 7(3)
Cu(1)-O(15)	0.245 5(2)	C(8)-C(9)	0.125 3(13)	Mo(1)-O(12)	0.170 9(3)
Cu(1)-O(20)	0.185 7(5)	N(2)-C(7)	0.136 6(11)	Mo(6)-O(9A)	0.169 9(3)
Cu(1)-O(21)	0.174 9(6)	C(2)-C(3)	0.138 1(9)	Mn(1)-O(1)	0.190 4(3)

续表 1

Cu(2)-O(6)	0.233 3(3)	C(3)-C(4)	0.137 5(8)	Mn(1)-O(2)	0.190 5(3)
Cu(2)-O(17)	0.194 3(3)	C(4)-C(5)	0.136 9(9)		
O(20)-Cu(1)-O(21)	159.0(4)	O(6)-Cu(2)-O(18B)	97.0(13)	O(1)-Mo(1)-O(12)	162.6(13)
O(21)-Cu(1)-O(21B)	90.6(5)	O(21B)-Cu(1)-N(1)	166.1(7)	O(1)-Mo(1)-O(2)	70.8(10)
O(20)-Cu(1)-O(21B)	75.7(7)	O(6)-Cu(2)-O(17B)	89.0(12)	O(2)-Mo(1)-O(8)	76.8(11)
O(15)-Cu(1)-O(21)	87.4(4)	O(5)-Mo(1)-O(8)	150.1(12)	O(2)-Mo(1)-O(12)	96.0(13)
O(15)-Cu(1)-N(1)	92.6(6)	O(5)-Mo(1)-O(12)	93.0(14)	O(5)-Mo(1)-O(6)	101.8(13)
O(21)-Cu(1)-N(1)	109.5(5)	O(1)-Mo(1)-O(6)	88.7(12)		

Symmetry codes: 1: B:  $-y, x-y, -z$ ; C:  $-y, x, -z$ ; D:  $x-y, -y, -z$ ; E:  $-x, -x+y, -z$ ; 2: A:  $-x, y, 0.5-z$ ; B:  $-x, 1-y, -z$ .

分键长和键角。

CCDC:999721,1;999720,2。

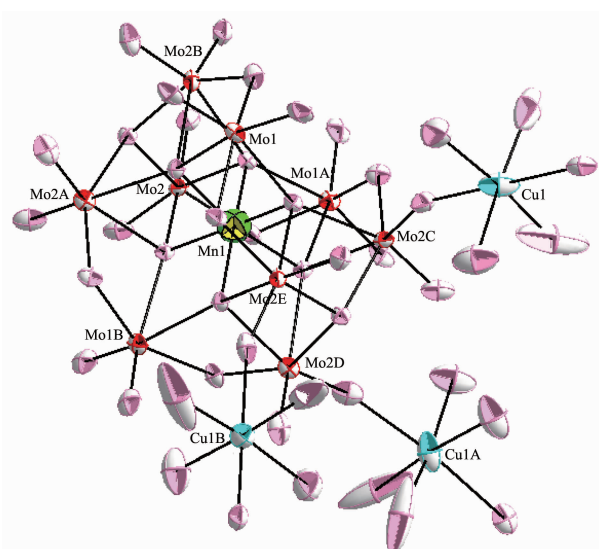
## 2 结果与讨论

### 2.1 化合物的晶体结构分析

#### 2.1.1 化合物 $[\text{Cu}(\text{H}_2\text{O})_4]_3\text{MnMo}_9\text{O}_{32}\cdot 6\text{H}_2\text{O}$ (1)的晶体结构

化合物 1 的不对称单元中(如图 1 所示)包含 3 个六配位的  $\text{Cu}^{2+}$  离子, 1 个 Waugh 型阴离子  $[\text{MnMo}_9\text{O}_{32}]^{6-}$  和 6 个结晶水分子。杂多阴离子  $[\text{MnMo}_9\text{O}_{32}]^{6-}$  的中心杂原子为  $\text{Mn}^{4+}$ , 与 6 个氧原子配位形成  $\text{MnMo}_6$  八面体位于阴离子的中心,  $\text{Mn}-\text{O}$  键长为 0.189 1(5) nm,  $\text{O}-\text{Mn}-\text{O}$  键角范围在 86.33(19) $^\circ$  ~169.2(3) $^\circ$ 。3 个  $\text{Cu}^{2+}$  离子配位环境相同, 均与 2 个阴离子  $[\text{MnMo}_9\text{O}_{32}]^{6-}$  上的 2 个端氧( $\text{O}_d$ )和 4 个水分子配位形成扭曲的八面体( $\text{Cu}-\text{O}_d$ , 0.224 0(5) nm;  $\text{Cu}-\text{O}_w$ , 0.196 9(10)~0.201 3(8) nm)。

每个  $[\text{MnMo}_9\text{O}_{32}]^{6-}$  阴离子作为六齿配体提供 6 个  $\text{O}_d$  与 6 个  $\text{Cu}^{2+}$  配位(见图 2 右), 从而在化合物 1



Hydrogen atoms are omitted for clarity; Symmetry codes: A:  $-x+y, -x, z$ ; B:  $-y, x-y, -z$ ; C:  $-y, x, -z$ ; D:  $x-y, -y, -z$ ; E:  $-x, -x+y, -z$

图 1 化合物 1 的结构基元椭球图

Fig.1 Diamond view of the Structural motif of the compound 1 with 50% probability of ellipsoid

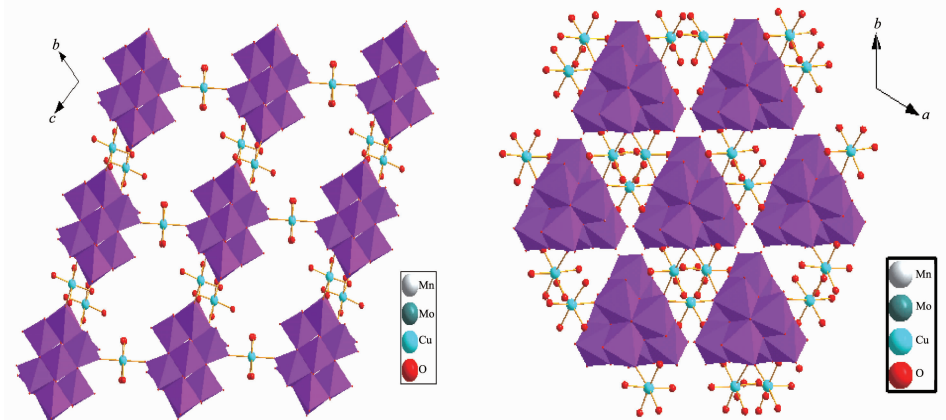


图 2 化合物 1 在 bc (a)和 ab (b)平面的堆积图

Fig.2 Packing diagram of compound 1 in the bc (a) and ab (b) plane

中形成了以“ $\text{Cu}(\text{H}_2\text{O})_4$ ”为桥连接杂多阴离子 $[\text{MnMo}_9\text{O}_{32}]^{6-}$ 的三维网络结构(图2),这种连接方式将 $\text{Cu}^{2+}$ 与 $[\text{MnMo}_9\text{O}_{32}]^{6-}$ 阴离子连接形成了三维二重穿插的( $4^{\cdot}12.6^{\cdot}3$ ) $\alpha$ -Po拓扑结构(图3)。

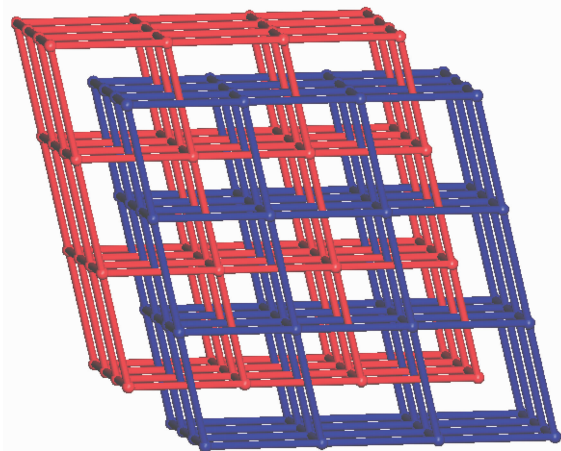
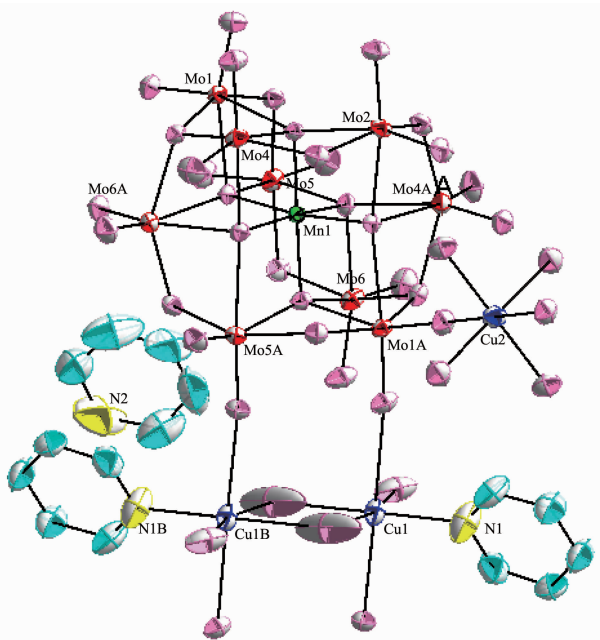


图3 化合物1的三维二重穿插的 $\alpha$ -Po拓扑图

Fig.3 A schematic view of the 3D interpenetrating framework with  $\alpha$ -Po topology

#### 2.1.2 化合物 $[\text{Cu}(\text{H}_2\text{O})_4][\text{Cu}(\text{C}_5\text{H}_5\text{N})(\text{H}_2\text{O})_2]_2(\text{C}_5\text{H}_5\text{N})\text{MnMo}_9\text{O}_{32}\cdot 4\text{H}_2\text{O}$ (2)的晶体结构

化合物2的不对称单元中(如图4所示)包含3个六配位的 $\text{Cu}^{2+}$ 离子、1个 $[\text{MnMo}_9\text{O}_{32}]^{6-}$ 阴离子、4个



Hydrogen atoms are omitted for clarity; Symmetry codes: A:  $-x, y, 0.5-z$ ; B:  $-x, 1-y, -z$

图4 化合物2的结构基元椭球图

Fig.4 Diamond view of the structural motif of the compound 2 with 50% probability of ellipsoids

结晶水分子和3个吡啶分子,其中1个吡啶分子游离在阴离子的外围,而另2个吡啶分子(吡啶环几乎是平行的,二面角是 $0.78(7)$ °)各与1个 $\text{Cu}^{2+}$ 离子配位。3个 $\text{Cu}^{2+}$ 有2种配位方式,其中 $\text{Cu}2$ 与2个 $\text{O}_d$ 及4个水分子形成六配位( $\text{Cu}-\text{O}_d$ : $0.233\ 3(3)$  nm; $\text{Cu}-\text{O}_w$ : $0.194\ 3(3)\sim 0.201\ 2(3)$  nm);而 $\text{Cu}1$ 和 $\text{Cu}1\text{B}$ 的配位环境是完全相同的,均与2个 $\text{O}_d$ 、3个水分子和1个吡啶分子配位形成畸变的八面体( $\text{Cu}-\text{O}_d$ : $0.245\ 6(3)\sim 0.249\ 3(6)$  nm; $\text{Cu}-\text{O}_w$ : $0.185\ 7(5)$  nm; $\text{Cu}-\text{O}_{w,b}$ : $0.174\ 9(6)$  nm; $\text{Cu}-\text{N}$ : $0.204\ 5(5)$  nm),有趣的是这2个 $\text{Cu}^{2+}$ 共用2个配位水分子从而形成了由 $\text{Cu}^{2+}$ 和 $\text{O}$ 交替相连的平行四边形(图5)。

每个阴离子 $[\text{MnMo}_9\text{O}_{32}]^{6-}$ 作为六齿配体提供6

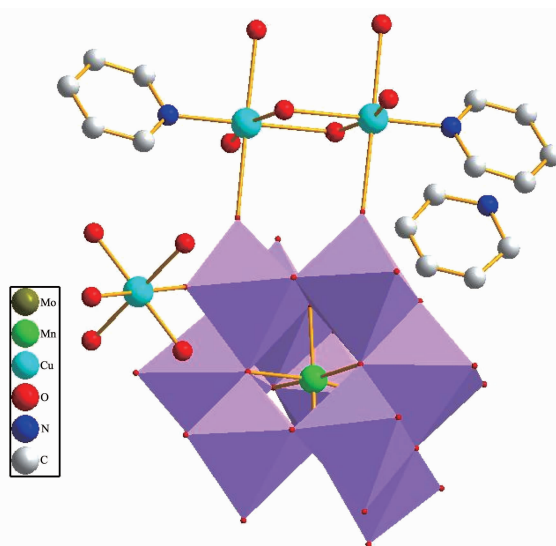


图5 化合物2的阴离子多面体图

Fig.5 Polyhedral and ball-and-stick representation of compound 2

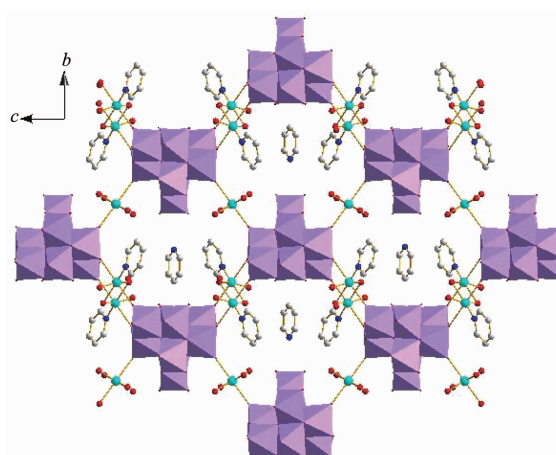


图6 化合物2在bc平面的堆积图

Fig.6 Packing diagram of compound 2 in bc plane

个 O<sub>d</sub> 与 6 个 Cu<sup>2+</sup>配位,从而在化合物 **2** 中形成了以单核铜“Cu(H<sub>2</sub>O)<sub>4</sub>”和双核铜建筑块 “[Cu<sub>2</sub>(C<sub>5</sub>H<sub>5</sub>N)<sub>2</sub>(H<sub>2</sub>O)<sub>4</sub>]”作为桥连接杂多阴离子 [MnMo<sub>9</sub>O<sub>32</sub>]<sup>6-</sup> 的三维网络结构。在 bc 平面,沿着 b 方向,形成了游离吡啶分子与 [MnMo<sub>9</sub>O<sub>32</sub>]<sup>6-</sup> 交替排列的阴离子层和含 Cu<sup>2+</sup> 的阳离子层;沿着 c 方向,阴离子层与阳离子层交替排列(图 6)。

## 2.2 红外光谱

在化合物 **1** 的 IR 谱中,3 412 (vs) 和 1 614(m) cm<sup>-1</sup> 处是水的吸收峰,1 000 cm<sup>-1</sup> 以下是杂多阴离子的特征吸收峰。在 939(s) 和 903(s) cm<sup>-1</sup> 处的吸收峰为杂多阴离子的 Mo=O<sub>d</sub> 的伸缩振动峰;在 705 (m), 590(m), 535(s) 和 493(m) cm<sup>-1</sup> 处的吸收峰归属于杂多阴离子的 Mo-O<sub>b,c</sub> (桥氧)-Mo 的弯曲振动吸收峰。

在化合物 **2** 的 IR 谱中,3 420 (vs) 和 1 611(s) cm<sup>-1</sup> 处是水的吸收峰,在 1 528(m), 1 487(s), 1 449 (m), 1 331(w), 1 242(w), 1 202(w), 1 169(w), 1 160(w), 1 076(w), 1 053(w) 和 750(m) cm<sup>-1</sup> 处的吸收峰为吡啶的特征峰;935(vs) cm<sup>-1</sup> 处的吸收峰为杂多阴离子的 Mo=O<sub>d</sub> 的伸缩振动峰;678(vs), 595(vs), 539(s), 495(s) cm<sup>-1</sup> 处的吸收峰为杂多阴离子的 Mo-O<sub>b,c</sub>-Mo 的弯曲振动吸收峰。

## 2.3 固体紫外可见光谱与近红外光谱分析

### 2.3.1 固体紫外可见光谱

对化合物 **1** 进行了固体紫外可见漫反射光谱测试。化合物 **1** 在 262 和 290 nm 处的吸收峰分别归属于 O<sub>d</sub>→Mo 和 O<sub>b,c</sub>→Mo 的荷移跃迁,392 nm 处宽的吸收峰带归属于 O<sub>μ</sub>→Mo 的荷移跃迁<sup>[14]</sup>,485 nm 处的强吸收峰归属于八面体配位场中 Mn<sup>4+</sup> 的 t<sub>2g</sub> 轨道中的电子向 e<sub>g</sub> 轨道的跃迁,即 <sup>4</sup>T<sub>2g</sub>→<sup>4</sup>A<sub>2g</sub><sup>[15-16]</sup>。

### 2.3.2 近红外漫反射光谱

对化合物 **1** 和 **2** 进行了近红外漫反射光谱测试。化合物 **1** 和 **2** 在 800~1 400 nm 的范围均出现一个宽的吸收峰带,主峰位置分别在 827 nm 和 819 nm<sup>[17-20]</sup>,归属于铜离子的 d<sub>xz</sub>(d<sub>yz</sub>)→d<sub>z<sup>2</sup></sub> 的 d-d 电子跃迁。在 1 400~1 500 nm 范围,出现了 1 个弱的吸收峰带,归属于铜离子的 d<sub>xy</sub>→d<sub>x<sup>2</sup>-y<sup>2</sup></sub> 的 d-d 电子跃迁<sup>[18]</sup>。

## 2.4 热重分析

化合物 **1** 和 **2** 的 TG 曲线如图 7 所示。测定条件为:在氮气气氛下从 20 °C 开始加热,升温速率为 10 °C·min<sup>-1</sup>。由热重曲线可以看出化合物 **1** 的热失重过程分为两个阶段,在 30~380 °C 范围内失重率为 15.98%(理论值 16.65%),对应于失去结晶水和配位水;从 680 °C 开始,化合物 **1** 的阴离子骨架开始分解。

化合物 **2** 的热失重过程分为 3 个阶段,在 30~200 °C 范围内失重率为 7.12%,对应于失去 4 个结晶水和 1 个游离的吡啶分子(理论值是 7.03%);在 200~320 °C 的温度范围,失重率为 14.25%,对应于失去 2 个配位的吡啶分子和 8 个配位水(理论值 14.06%),这与晶体结构分析相吻合;320~800 °C 的温度范围,是化合物 **2** 的阴离子骨架热分解的过程。

## 2.5 磁性质研究

在磁场强度为 1 000 Oe 的条件下,在 1.8~300 K 的温度范围,对化合物 **1** 的多晶样品进行了变温磁化率测试,图 8 表示  $\chi_M$ 、 $1/\chi_M$  和  $\chi_M T$  随温度的变化曲线。在 300 K 时,化合物 **1** 的  $\chi_M T$  的值为 2.389 cm<sup>3</sup>·K·mol<sup>-1</sup>;在 50~300 K,  $\chi_M T$  值随着温度的降低下降的不明显;50 K 以下,  $\chi_M T$  随温度的变化急剧下降,在 1.8 K 时,  $\chi_M T$  值为 2.026 cm<sup>3</sup>·K·mol<sup>-1</sup>。这

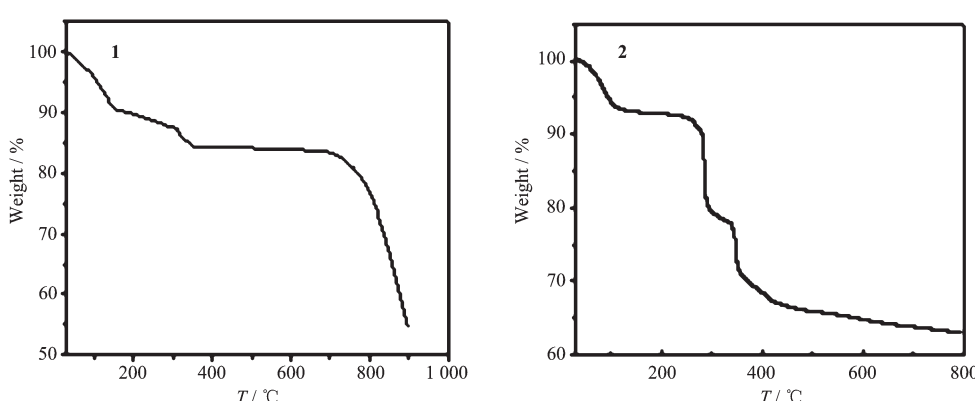
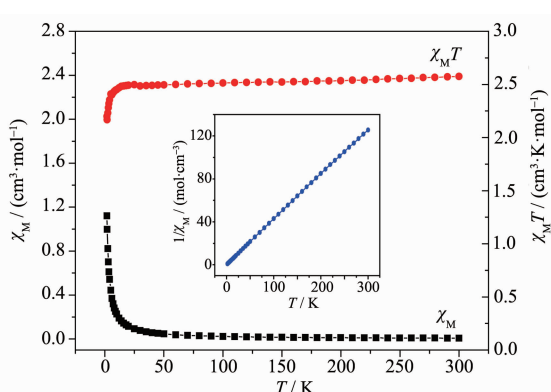


图 7 化合物的热重曲线

Fig.7 TG curves of compounds **1** and **2**

图8 化合物1的 $\chi_M$ 、 $1/\chi_M$ 和 $\chi_MT$ 随温度的变化曲线Fig.8  $\chi_M$ ,  $1/\chi_M$  and  $\chi_MT$  vs  $T$  plots for compound 1

是由于中心  $Mn^{4+}$  处在近似正八面体弱配位场中, 3个  $d$  电子 ( $S=3/2$ ) 均布局于  $T_{2g}$  轨道, 具有高的球对称结构, 由于各向异性导致的零场分裂不会太强, 因此  $\chi_{MT}$  值在低温部分的下降为弱的零场分裂所导致。

在全部测试的温度范围 1.8~300 K,  $\chi_M^{-1}$  随温度的降低呈线性减小(见图8 插图), 完全符合居里外斯公式  $\chi=C/(T-\theta)$ , 线性拟合得: 居里常数  $C=2.375$  emu·K·mol<sup>-1</sup>, 居里外斯常数  $\theta=-0.982$  K。 $\theta<0$  表明化合物的杂多阴离子之间存在着弱的反铁磁相互作用。

### 3 结 论

本文以  $(NH_4)_6[MnMo_9O_{32}]$  为前体原料, 成功制备了两例新的由铜离子构筑的 Waugh 型钼酸盐, 丰富了 Waugh 型化合物的结构和种类。结构分析表明, 化合物 1 以 “ $Cu(H_2O)_4$ ” 为桥连接杂多阴离子  $[MnMo_9O_{32}]^{6-}$  形成了三维网络结构, 化合物 2 以单核铜 “ $Cu(H_2O)_4$ ” 和双核铜建筑块 “[ $Cu_2(C_5H_5N)_2(H_2O)_4$ ]” 作为桥连接杂多阴离子  $[MnMo_9O_{32}]^{6-}$  形成了三维网络结构。本文对化合物的结构、光谱性质、热重和磁性质进行了讨论, 为进一步研究此类化合物的功能特性提供了依据。

### 参考文献:

- [1] Baker L C W, Weakley T J R. *J. Inorg. Nucl. Chem.*, **1966**, **28**:447-454
- [2] TAN Hua-Qiao(谭华侨), CHEN Wei-Lin(陈维林), LIU Ding(刘丁), et al. *Sci. China Chem.(中国科学)*, **2011**, **54**(9):1418-1422
- [3] YUAN Hua(袁华), WANG Li-Xia(王立霞), XU Mei(徐美), et al. *J. Hebei Norm. Univ.: Nat. Sci. Ed.(河北师范大学学报:自然科学版)*, **2011**, **35**(6):602-604
- [4] LIU Shu-Heng(刘树恒), WANG Li-Xia(王立霞), YUAN Hua(袁华), et al. *J. Cangzhou Norm. Univ.(沧州师范学院学报)*, **2012**, **28**(1):9-12
- [5] WU Dan(吴丹), XU Mei-Xian(许美羨), LIN Shen(林深). *Chin. J. Appl. Chem.(应用化学)*, **2006**, **23**(9):1000-1005
- [6] LIN Shen(林深), ZHENG Ying(郑瑛), WANG Shi-Ming(), et al. *Chin. J. Synth. Chem.(合成化学)*, **2000**, **8**(5):442-446
- [7] YANG Xi-Ping(杨喜平), CHEN Chang-Zhang(陈长章), LIN Bin-Zhou(林斌州), et al. *Chinese J. Struct. Chem.(结构化学)*, **1997**, **16**(1):64-68
- [8] CHENG Hai-Yan(程海燕). *Thesis for the Master of Northeast Normal University(东北师范大学硕士论文)*. **2007**.
- [9] LIU Bo(刘博), ZHOU Shi(周实), LI Chuan-Bi(李传碧), et al. *Chinese J. Struct. Chem.(结构化学)*, **2008**, **27**(9):1065-1068
- [10] Tan H Q, Li Y G, Zhang Z M, et al. *J. Am. Chem. Soc.*, **2007**, **129**(33):10066-10067
- [11] Tan H Q, Li Y G, Chen W L, et al. *Chem. Eur. J.*, **2009**, **15**:10940-10947
- [12] Tan H Q, Li Y G, Chen W L, et al. *Cryst. Growth Des.*, **2012**, **12**(3):1111-1117
- [13] Sheldrick G M. *SHELX-97*, University of Göttingen, Germany, **1997**.
- [14] ZHANG Han-hui(张汉辉), LIN Zheng-Zhong(林郑忠), HUANG Chang-Cang(黄长沧), et al. *Spectrosc. Spectr. Anal.(光谱学与光谱分析)*, **2004**, **24**(5):557-560
- [15] HUO Guo-Yan(霍国燕), YUAN Hua(袁华), LIU Wei(刘伟), et al. *J. Hebei Norm. Univ.: Nat. Sci. Ed.(河北大学学报:自然科学版)*, **2002**, **22**(1):19-22
- [16] Gavrilova L O, Molchanov V N. *Russ. J. Coord. Chem.*, **2005**, **31**(6):401-409
- [17] Yuan W G, Chen Y J, Chen J H. *Inorg. Chem. Commun.*, **2009**, **12**(11):1197-1199
- [18] Fang Z L, He J G, Zhang Q S, et al. *Inorg. Chem.*, **2011**, **50**(22):11403-11411
- [19] Shan X C, Jiang F L, Yuan D Q, et al. *Dalton Trans.*, **2012**, **41**(32):9411-9416
- [20] Bi L H, Li B, Wu L X, et al. *Inorg. Chim. Acta*, **2009**, **362**(9):3309-3313